

УДК 543.544:546.289

## ВЫСОКОЧУВСТВИТЕЛЬНОЕ ХРОМАТО-МАСС-СПЕКТРОМЕТРИЧЕСКОЕ ОПРЕДЕЛЕНИЕ ПРИМЕСЕЙ В МОНОГЕРМАНЕ ВЫСОКОЙ ЧИСТОТЫ С ПРИМЕНЕНИЕМ АДСОРБЦИОННОЙ КАПИЛЛЯРНОЙ КОЛОНКИ С УГЛЕРОДНЫМ СОРБЕНТОМ

© В. А. Крылов<sup>1,2</sup>, О. Ю. Чернова<sup>1</sup>, А. Ю. Созин<sup>1</sup>

*Статья поступила 26 июня 2015 г.*

Показано, что применение кварцевой капиллярной колонки с углеродным адсорбентом позволяет эффективно разделять и определять в моногермане примеси постоянных газов, диоксида углерода, закиси азота, углеводородов C<sub>1</sub> – C<sub>2</sub> и силана. Изучено влияние объема вводимой пробы моногермана на определение этана и углекислого газа. Пределы хромато-масс-спектрометрического обнаружения примесей составили (10 – 1) · 10<sup>-6</sup> % мол. Предел обнаружения лимитирующей примеси — этана — удалось снизить в 7 раз по сравнению с литературными данными.

**Ключевые слова:** моногерман высокой чистоты; адсорбционная капиллярная колонка, примеси; предел обнаружения; правильность; хромато-масс-спектрометрия.

Высокочистый моногерман (GeH<sub>4</sub>) широко востребован для различных современных технологий — от

производства детекторов ИК- и гамма-излучения и стекол на основе GeO<sub>2</sub> до получения изотопов гер-

<sup>1</sup> Институт химии высокочистых веществ им. Г. Г. Девятых Российской академии наук, г. Нижний Новгород, Россия;  
e-mail: k658995@mail.ru

<sup>2</sup> Нижегородский государственный университет им. Н. И. Лобачевского, г. Нижний Новгород, Россия.

мания. Поэтому разработка методик определения микропримесей в гидриде германия весьма актуальна. Основной метод глубокой очистки моногермана — низкотемпературная ректификация. Наиболее трудно-удаляемой из моногермана ( $T_{\text{кип}} = -88,5^{\circ}\text{C}$ ) примесью является этан ( $T_{\text{кип}} = -88,7^{\circ}\text{C}$ ) [1]. Предпринимались неоднократные попытки разработки методик высокочувствительного газохроматографического определения этой примеси в германе [2–8]. Основной проблемой определения этана является сложность его разделения с германом. Исследовано применение насадочных и капиллярных колонок с различными адсорбентами и неподвижными жидкими фазами. Ни в одном случае не удалось достичь приемлемого разделения. В единственной работе [9] предел обнаружения этана  $2 \cdot 10^{-5}$  % мол. получен при его определении методом реакционной хроматографии с химическим удалением моногермана. Число возможных анализов определяется емкостью реакционной колонки и не превышает 12–15. Возможным решением проблемы разделения этана и германа является использование капиллярной колонки с углеродным сорбентом. Согласно закономерностям хроматографического удерживания на углеродных сорбентах [10] этан должен элюироваться раньше, и его пик не будет накладываться на тыльную часть пика моногермана. Это позволит обойтись без химического связывания основного компонента и снизить предел обнаружения этана.

Этим требованиям может удовлетворять капиллярная адсорбционная колонка CarbonPLOT с углеродным сорбентом.

Целью настоящей работы являлось изучение возможности ее применения для определения примесей в высокочистом моногермане.

Анализ образцов проводили с использованием хромато-масс-спектрометра Agilent 6890/MSD 5973N с капиллярной колонкой CarbonPLOT 25 м × 0,32 мм × 0,25 мкм с углеродным сорбентом. Хроматографический анализ выполняли в изотермическом режиме при температуре колонки 30 °С. В качестве газа-

носителя использовали гелий марки 7,0 (ТУ 0271-001-45905715-02). Линейная скорость газа-носителя составляла 36 см/с. Установка для пробоотбора и условия работы масс-спектрометрического детектора подробно описаны в работах [5, 11].

Идентификацию примесей выполняли сравнением их масс-спектров с масс-спектрами базы данных NIST. Определение проводили в режиме регистрации выбранных ионов (SIM). Для исключения перегорания катода во время выхода основного компонента питания детектора отключали и определение этана при таком давлении не проводили. Концентрации примесей определяли методом абсолютной градуировки по площадям пиков. Градуировочные смеси готовили на газосмесительной установке в калиброванных ампулах из молибденового стекла и в баллонах из нержавеющей стали марки 12Х18Н10Т (объемом 200–300 см<sup>3</sup>) объемно-манометрическим методом. В качестве газа-разбавителя использовали моногерман, очищенный ректификацией, с содержанием примесей  $<10^{-5}$  мол. %. В качестве исходных веществ использовали: O<sub>2</sub> (ГОСТ 5583–78), N<sub>2</sub> (ГОСТ 923–74), Ar (ТУ 6-21-12-79), CO<sub>2</sub> (ГОСТ 8050–85), N<sub>2</sub>O (ТУ 2114-051-00203772-2006), набор углеводородов C<sub>1</sub>–C<sub>2</sub> (ТУ 6-09-2454-85), SiH<sub>4</sub> (производства ИХВВ РАН).

Парциальное давление компонента смеси  $P_i$  рассчитывали по уравнению:

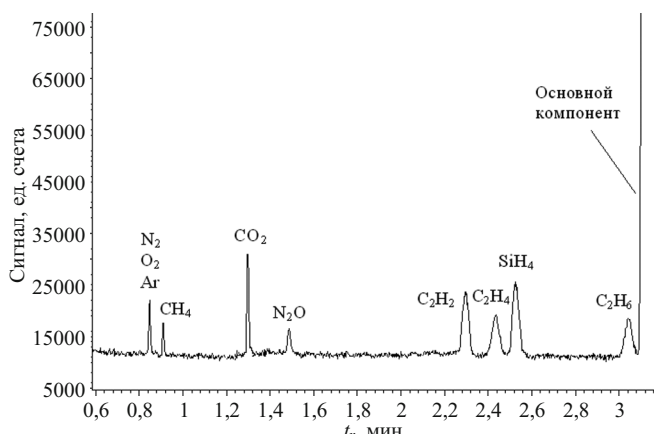
$$P_i = \frac{p_{\text{см}} c_i}{100\%}.$$

Давление измеряли вакуумметром ВТИ класса точности 0,6. Были приготовлены градуировочные смеси в диапазоне парциальных давлений 10<sup>-7</sup>–10<sup>-3</sup> атм (10<sup>-5</sup>–10<sup>-1</sup> % мол.). Погрешность их приготовления не превышала 7 %.

Определение примесей проводили путем регистрации их ионов, характеризующихся максимальным соотношением сигнал/шум, со значениями  $m/z$ , приведенными в табл. 1.

**Таблица 1.** Времена удерживания примесей, их содержание в моногермане и пределы обнаружения ( $C_{\min}$ , % мол.)

Примесь	Время удерживания, мин	$m/z$	Содержание, % мол.	$C_{\min}$ , % мол.	
				Данные исследования	Литературные данные
N <sub>2</sub>	0,84	28	(1,8 ± 0,2) · 10 <sup>-4</sup>	5 · 10 <sup>-6</sup>	1 · 10 <sup>-5</sup> [12]
O <sub>2</sub>	0,85	32	(1,6 ± 0,2) · 10 <sup>-5</sup>	5 · 10 <sup>-6</sup>	2 · 10 <sup>-6</sup> [12]
Ar	0,85	40	(6,1 ± 0,6) · 10 <sup>-5</sup>	1 · 10 <sup>-6</sup>	6 · 10 <sup>-6</sup> [12]
CH <sub>4</sub>	0,93	15	(3 ± 1) · 10 <sup>-5</sup>	1 · 10 <sup>-5</sup>	2 · 10 <sup>-6</sup> [6]
CO <sub>2</sub>	1,26	44	(5,1 ± 0,5) · 10 <sup>-5</sup>	1 · 10 <sup>-6</sup>	2 · 10 <sup>-5</sup> [13]
N <sub>2</sub> O	1,49	44	(4 ± 1) · 10 <sup>-6</sup>	1 · 10 <sup>-6</sup>	—
C <sub>2</sub> H <sub>2</sub>	2,30	26	(1,6 ± 0,2) · 10 <sup>-5</sup>	2 · 10 <sup>-6</sup>	—
C <sub>2</sub> H <sub>4</sub>	2,44	27	(5 ± 1) · 10 <sup>-6</sup>	2 · 10 <sup>-6</sup>	2 · 10 <sup>-5</sup> [9]
SiH <sub>4</sub>	2,52	30	(4,7 ± 0,5) · 10 <sup>-5</sup>	5 · 10 <sup>-6</sup>	9,2 · 10 <sup>-5</sup> [7]
C <sub>2</sub> H <sub>6</sub>	3,03	27	(3,7 ± 0,4) · 10 <sup>-5</sup>	3 · 10 <sup>-6</sup>	2 · 10 <sup>-5</sup> [9]



**Рис. 1.** Хроматограмма образца моногермана, полученная в режиме регистрации полного ионного тока

Содержание примесей в образцах моногермана  $C_i$  находили по уравнению:

$$C_i = \frac{P_i}{P_{\text{GeH}_4}} \cdot 100\%,$$

где  $P_{\text{GeH}_4}$  — давление пробы моногермана.

Пределы обнаружения примесей по парциальному давлению  $p_{\min}$  рассчитывали для режима SIM как утроенное стандартное отклонение сигнала контрольного опыта:

$$p_{\min} = 3S/A,$$

где  $S$  (ед. счета) — стандартное отклонение аналитического сигнала контрольного опыта,  $A$  (ед. счета/атм) — коэффициент чувствительности детектора к определяемому веществу (определяли по градиуровочным зависимостям). Пределы обнаружения примесей по концентрации  $C_{\min}$  рассчитывали из соотношения  $p_{\min}$  и максимального давления моногермана в системе дозирования  $p_{\max} = 0,7$  атм:

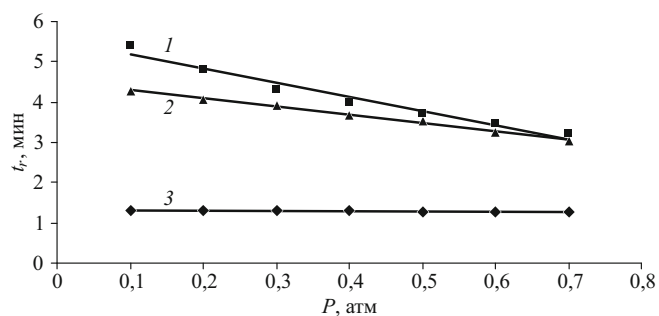
$$C_{\min} = \frac{P_{\min}}{P_{\max}} \cdot 100\%.$$

Стандартное отклонение сигнала контрольного опыта рассчитывали по колебаниям площади пика, относящегося ко времени выхода определяемой примеси

$$S = \sqrt{\frac{1}{n-1} \sum_{i=1}^n (B_i - \bar{B})^2},$$

где  $B_i$  (ед. счета) — единичное значение площади пика примеси;  $\bar{B}$  (ед. счета) — среднее значение площади пика примеси;  $n$  — число измерений.

На рис. 1 приведена хроматограмма образца моногермана, полученная с использованием колонки CarbonPLOT в режиме регистрации полного ионного тока. Видно, что с помощью этой колонки разделены и идентифицированы примеси постоянных газов,



**Рис. 2.** Зависимость времени удерживания примесей  $\text{C}_2\text{H}_6$  (2),  $\text{CO}_2$  (3) и смещения фронта пика моногермана (1) от давления пробы

метана, диоксида углерода, закиси азота, ацетилена, этилена, силана, этана. Примеси закиси азота и ацетилена идентифицированы в моногермане впервые. Как видно из хроматограммы, пики большинства компонентов разрешены достаточно для определения. Примеси  $\text{Ar}$ ,  $\text{N}_2$  и  $\text{O}_2$  не разделяются, однако это не мешает их индивидуальному определению из-за различия масс-спектров. Примеси углекислого газа, ацетилена, этилена и этана элюируются до основного компонента, что важно для их определения неселективными детекторами (гелиевым, детектором по теплопроводности).

Исследовано влияние количества основного вещества на разделение и определение примесей в моногермане. На рис. 2 представлены зависимости смещения фронта полосы моногермана и времен удерживания примесей  $\text{C}_2\text{H}_6$  и  $\text{CO}_2$  от давления вводимой пробы. Видно, что при увеличении давления пробы от 0,1 до 0,7 атм фронт пика моногермана смещается от 5,4 до 3,2 мин. Увеличение давления моногермана выше 0,7 атм приводит к наложению фронта его пика на пик этана.

Увеличение количества основного вещества приводит также к вытеснению примесей. В наибольшей степени оно проявляется для примесных компонентов, пики которых близко расположены к фронту пика моногермана ( $\text{C}_2\text{H}_6$ ,  $\text{SiH}_4$ ,  $\text{C}_2\text{H}_4$ ,  $\text{C}_2\text{H}_2$ ). Так, при изменении давления вводимого моногермана от 0,1 до 0,7 атм время удерживания  $\text{C}_2\text{H}_6$  уменьшается на 1,3 мин. Для «легких» веществ —  $\text{N}_2\text{O}$ ,  $\text{CO}_2$ ,  $\text{Ar}$ ,  $\text{O}_2$  и  $\text{N}_2$  — время удерживания практически не меняется.

Эффект вытеснения примесей сопровождается сужением их хроматографических пиков и возрастанием эффективности колонки. Наибольшее изменение эффективности колонки также характерно для веществ, пики которых расположены на хроматограмме вблизи пика моногермана. Из рис. 3 видно, что эффективность колонки для ацетилена увеличивается в 2,1 раза (кривая 1), для этана — в 3,5 раза (кривая 2).

Примеры градиуровочных зависимостей для определения примесей этана и углекислого газа в моногермане приведены на рис. 4. Видно, что в диапазоне давлений  $10^{-3} - 10^{-7}$  атм они линейны

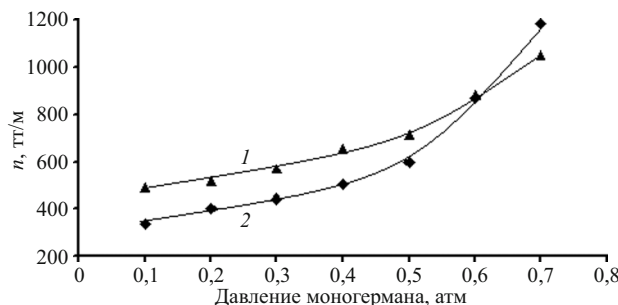


Рис. 3. Зависимость эффективности колонки CarbonPLOT от давления пробы моногермана для  $\text{C}_2\text{H}_2$  (1),  $\text{C}_2\text{H}_6$  (2)

[ $\lg S = 1,011 \lg P_i + 10,912, R^2 = 0,998$  ( $\text{CO}_2$ );  $\lg S = 1,016 \lg P_i + 10,408, R^2 = 0,996$  ( $\text{C}_2\text{H}_6$ )]. Значения пределов обнаружения примесей приведены в табл. 1. Пределы обнаружения ацетилена и закиси азота в моногермане рассчитаны впервые. Для этана и углекислого газа они ниже в 7–20 раз по сравнению с ранее опубликованными данными [9, 12].

Результаты анализа наиболее чистого образца моногермана приведены в табл. 1. Видно, что содержание примесей находится на уровне  $10^{-4} - 10^{-6}$  % мол. Сходимость определения примесей в этой области характеризуется относительным стандартным отклонением 0,08–0,2.

Правильность полученных результатов подтверждалась методом варьирования объема пробы и сопоставлением с результатами газохроматографического анализа. Для этого сравнивали модуль разности средних значений результатов  $|\bar{C}_1 - \bar{C}_2|$  с максимальной погрешностью этой разности  $\varepsilon$ , которую рассчитывали по формуле:

$$\varepsilon = t_{p,f} S_{\text{взв}} \sqrt{\frac{1}{n_1} + \frac{1}{n_2}},$$

где  $t_{p,f}$  — коэффициент Стьюдента для доверительной вероятности  $P = 0,95$  и числа степеней свободы  $f = n_1 + n_2 - 2$ .

Таблица 2. Результаты проверки правильности анализа моногермана методом варьирования объема пробы ( $n_1 = n_2 = 5; P = 0,95$ )

Примесь	$P = 1,0$ атм		$P = 0,3$ атм		$S_{\text{взв}}$ , % мол.	$ \bar{C}_1 - \bar{C}_2 $ , % мол.	$\varepsilon$ , % мол.
	$\bar{C}_1$ , % мол.	$S_1$ , % мол.	$\bar{C}_2$ , % мол.	$S_2$ , % мол.			
$\text{CO}_2$	$1,1 \cdot 10^{-5}$	$0,2 \cdot 10^{-5}$	$1,2 \cdot 10^{-5}$	$0,2 \cdot 10^{-5}$	$0,2 \cdot 10^{-5}$	$0,1 \cdot 10^{-5}$	$4,5 \cdot 10^{-6}$
$\text{C}_2\text{H}_6$	$6,2 \cdot 10^{-5}$	$0,5 \cdot 10^{-5}$	$5,7 \cdot 10^{-5}$	$0,4 \cdot 10^{-5}$	$0,4 \cdot 10^{-5}$	$0,5 \cdot 10^{-5}$	$9,1 \cdot 10^{-6}$

Таблица 3. Результаты хромато-масс-спектрометрического (ХМС) и газохроматографического (ГХ) определения примесей в моногермане ( $n_1 = n_2 = 3; P = 0,95$ )

Примесь	ХМС		ГХ		$S_{\text{взв}}$ , % мол.	$ \bar{C}_1 - \bar{C}_2 $ , % мол.	$\varepsilon$ , % мол.
	$\bar{C}_1$ , % мол.	$S_1$ , % мол.	$\bar{C}_2$ , % мол.	$S_2$ , % мол.			
$\text{CH}_4$	$1,1 \cdot 10^{-4}$	$0,2 \cdot 10^{-4}$	$1,2 \cdot 10^{-4}$	$0,2 \cdot 10^{-4}$	$0,2 \cdot 10^{-4}$	$0,1 \cdot 10^{-4}$	$4,5 \cdot 10^{-5}$
$\text{C}_2\text{H}_6$	$2,2 \cdot 10^{-4}$	$0,2 \cdot 10^{-4}$	$2,0 \cdot 10^{-4}$	$0,2 \cdot 10^{-4}$	$0,2 \cdot 10^{-4}$	$0,2 \cdot 10^{-4}$	$4,5 \cdot 10^{-5}$

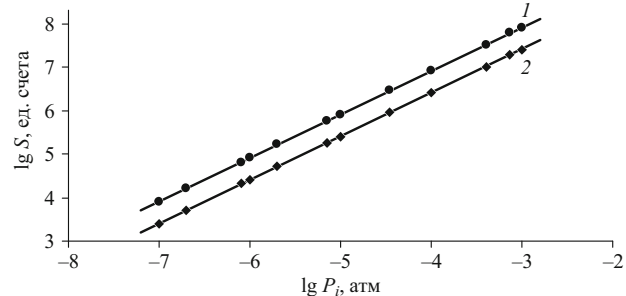


Рис. 4. Зависимость логарифма площади хроматографического пика от парциального давления  $\text{CO}_2$  (1),  $\text{C}_2\text{H}_6$  (2)

Средневзвешенное стандартных отклонений  $S_{\text{взв}}$  рассчитывали по формуле:

$$S_{\text{взв}} = \sqrt{\frac{(n_1 - 1)S_1^2 + (n_2 - 1)S_2^2}{n_1 + n_2 - 2}}.$$

Результаты проверки правильности на примере определения примесей  $\text{CO}_2$ ,  $\text{C}_2\text{H}_6$  и  $\text{CH}_4$  приведены в табл. 2 и 3. Видно, что разница результатов определения при изменении давления напуска моногермана в 3 раза и при использовании независимого метода анализа статистически не значима.

Таким образом, для газохроматографического определения примесей в гидриде германия впервые применена кварцевая капиллярная колонка с углеродным адсорбентом, которая позволяет определять в моногермане примеси постоянных газов, диоксида углерода, закиси азота, углеводородов  $\text{C}_1 - \text{C}_2$  и силана. Предел хромато-масс-спектрометрического обнаружения этана в моногермане составляет  $3 \cdot 10^{-6}$  % мол., а остальных примесей —  $(10 - 1) \cdot 10^{-6}$  % мол., что в 7–20 раз ниже достигнутых ранее.

## ЛИТЕРАТУРА

1. Девятых Г. Г., Зорин А. Д. Летучие неорганические гидриды особой чистоты. — М.: Наука, 1974. — 206 с.
2. Крылов В. А., Чернова О. Ю., Созин А. Ю. Идентификация примесей в моногермане высокой чистоты методом хромато-масс-спектрометрии / Заводская лаборатория. Диагностика материалов. 2012. Т. 78. № 7. С. 11 – 15.

3. Крылов В. А., Чернова О. Ю., Созин А. Ю., Киреев С. М., Буланов А. Д., Ворожцов Д. Л. Хромато-масс-спектрометрическое определение примесей германа высокой чистоты / Перспективные материалы. 2008. № 6. С. 227 – 229.
4. Чурбанов М. Ф., Крылов В. А., Чернова О. Ю., Созин А. Ю., Буланов А. Д., Ворожцов Д. Л. Примесный состав изотопно-обогащенного моногермана / Перспективные материалы. Специальный выпуск. 2010. Вып. 8. С. 105 – 109.
5. Крылов В. А., Чернова О. Ю., Созин А. Ю., Зорин А. Д. Хромато-масс-спектрометрический анализ германа высокой чистоты / Аналитика и контроль. 2015. Т. 19. № 1. С. 45 – 51.
6. Ежелева А. Е., Батурина Н. М., Крылов В. А., Чернятин А. К. Газохроматографическое определение примесей метана, водорода, оксида и диоксида углерода в высокочистом моногермане с использованием селективной сенсибилизации электронного захвата / Высокочистые вещества. 1989. № 4. С. 231 – 235.
7. Ежелева А. Е., Снопатин Г. Е., Малыгина Л. С. Применение пламенно-фотометрического детектора при хроматографическом анализе летучих неорганических гидридов особой чистоты / Журн. аналит. химии. 1979. Т. 34. Вып. 12. С. 2308 – 2311.
8. Ежелева А. Е., Малыгина Л. С., Снопатин Г. Е. Газохроматографический анализ высокочистых летучих неорганических гидридов III – VI групп Периодической системы / Успехи газовой хроматографии. 1982. Вып. 6. С. 284 – 295.
9. Зорин А. Д., Фролов И. А., Карабанов Н. Т., Кедяркин В. М., Балабанов В. В., Кузнецова Т. С., Гурьянов А. Н. Хроматографический анализ дигорана, силана и германа на содержание органических примесей / Журн. аналит. химии. 1970. Т. 25. № 10. С. 389 – 391.
10. Киселев А. В., Яшин Я. И. Адсорбционная газовая и жидкостная хроматография. — М.: Химия, 1979. — 288 с.
11. Крылов В. А., Чернова О. Ю., Созин А. Ю. Хромато-масс-спектрометрическая идентификация примесей в изотопно-обогащенном силане / Масс-спектрометрия. 2007. № 4. С. 125 – 130.
12. Крылов В. А., Красотский С. Г., Малышев В. М., Салганский Ю. М. Криогенный метод концентрирования примесей водорода, аргона, кислорода и азота при их газохроматографическом определении в летучих неорганических гидридах / Журн. аналит. химии. 2001. Т. 56. № 11. С. 1137 – 1143.
13. Воротынцев В. М., Мочалов Г. М., Суворов С. С., Шишкун А. О. Газохроматографическое определение содержания примесей постоянных газов, метана,mono- и диоксида углерода в моногермане особой чистоты / Журн. аналит. химии. 2010. Т. 65. № 6. С. 648 – 653.
- mass spectrometric determination of impurities in high-purity germane] / Perspekt. Mater. 2008. N 6. P. 227 – 229 [in Russian].
4. Чурбанов М. Ф., Крылов В. А., Чернова О. Ю., Созин А. Ю., Буланов А. Д., Ворожцов Д. Л. Примесы состав изотопно-обогашченного моногермана [The impurity composition of isotopically enriched monogermane] / Perspekt. Mater. Spets. Vyp. 2010. N 8. P. 105 – 109 [in Russian].
5. Крылов В. А., Чернова О. Ю., Созин А. Ю., Зорин А. Д. Khromato-mass-spektrometricheskii analiz germana vysokoi chistoty [Gas chromatography-mass spectrometry analysis of high purity germane] / Analit. Kontrol'. 2015. Vol. 19. N 1. P. 45 – 51 [in Russian].
6. Ezheleva A. E., Baturina N. M., Krylov V. A., Chernyatin A. K. Gazokhromatograficheskoe opredelenie primesei metana, vodoroda, oksida i dioksida ugleroda v vysokochistom monogermane s ispol'zovaniem selektivnoi sensibilizatsii elektronnogo zakhvata [Gas chromatographic determination of impurities of methane, hydrogen, carbon monoxide and dioxide in high purity monogermane selective sensitization using an electron capture] / Vysokochis. Veshch. 1989. N 4. P. 231 – 235 [in Russian].
7. Ezheleva A. E., Snopatin G. E., Malygina L. S. Primenenie plameno-fotometricheskogo detektora pri khromatograficheskem analize letuchikh neorganicheskikh hidridov osoboi chistoty [The use of a flame photometric detector in the chromatographic analysis of volatile inorganic hydrides of high purity] / Zh. Analit. Khimii. 1979. Vol. 34. N 12. P. 2308 – 2311 [in Russian].
8. Ezheleva A. E., Malygina L. S., Snopatin G. E. Gazokhromatograficheskii analiz vysokochistykh letuchikh neorganicheskikh hidridov III – VI grupp Periodicheskoi sistemy [Gas chromatographic analysis of high-volatile inorganic hydrides III – VI of the Periodic Table] / Usp. Gaz. Khromatogr. 1982. N 6. P. 284 – 295 [in Russian].
9. Зорин А. Д., Фролов И. А., Карабанов Н. Т., Кедяркин В. М., Балабанов В. В., Кузнецова Т. С., Гур'янин А. Н. Khromatograficheskii analiz diborana, silana i germana na soderzhanie organicheskikh primesei [Chromatographic analysis of diborane, silane and germane to the content of organic impurities] / Zh. Analit. Khimii. 1970. Vol. 25. N 10. P. 389 – 391 [in Russian].
10. Kiselev A. V., Yashin Ya. I. Adsorbsionnaya gazovaya i zhidkostnaya khromatografiya [Adsorption gas and liquid chromatography]. — Moscow: Chemistry, 1979. — 288 p. [in Russian].
11. Крылов В. А., Чернова О. Ю., Созин А. Ю. Khromato-mass-spektrometricheskaya identifikatsiya primesei v izotopno-obogashchennom silane [Gas chromatography-mass-spectrometric identification of impurities in isotopically enriched silane] / Mass-spektrometriya. 2007. N 4. P. 125 – 130 [in Russian].
12. Крылов В. А., Красотский С. Г., Малышев В. М., Салганский Ю. М. Kriogennyi metod konsentrirovaniya primesei vodoroda, argona, kisloroda i azota pri ikh gazokhromatograficheskem opredelenii v letuchikh neorganicheskikh hidridakh [Cryogenic method of concentration of the impurities of hydrogen, argon, oxygen, and nitrogen during their chromatographic determination in volatile inorganic hydrides] / Zh. Analit. Khimii. 2001. Vol. 56. N 11. P. 1137 – 1143 [in Russian].
13. Воротынцев В. М., Мочалов Г. М., Суворов С. С., Шишкун А. О. Gazokhromatograficheskoe opredelenie soderzhaniya primesei postoyannykh gazov, metana, mono- i dioksida ugleroda v monogermane osoboi chistoty [Gas chromatographic determination of impurities permanent gases, methane, mono-, and dioxide of carbon in monogermane high purity] / Zh. Analit. Khimii. 2010. Vol. 65. N 6. P. 648 – 653 [in Russian].

## REFERENCES

1. Devyatikh G. G., Zorin A. D. Letuchie neorganicheskie hidridy osoboi chistoty [Volatile inorganic hydrides of high purity]. — Moscow: Nauka, 1974. — 206 p.
2. Krylov V. A., Chernova O. Yu., Sozin A. Yu. Identifikatsiya primesei v monogermane vysokoi chistoty metodom khromato-mass-spektrometrii [Identification of the impurities in high purity germane using chromat-mass-spectrometry] / Zavod. Lab. Diagn. Mater. 2012. Vol. 78. N 7. P. 11 – 15 [in Russian].
3. Krylov V. A., Chernova O. Yu., Sozin A. Yu., Kireev S. M., Bulanov A. D., Vorozhtsov D. L. Khromato-mass-spektrometricheskoe opredelenie primesei v germane vysokoi chistoty [Gas chromatography-